

УДК 536.423.4

Равновесные распределения ионных кластеров по размерам в квазихимической модели.  
Дубровский В.Г. // Научное приборостроение. Формирование пучков заряженных частиц.  
Л.: Наука, 1990. - С. 14-21.

Предложен статистический метод нахождения равновесной функции распределения  
ионных кластеров по размерам, основанный на квазихимической модели конденсации.  
Полученные распределения устраниют многие трудности классической теории и допус-  
кают наглядную интерпретацию в терминах фазового перехода газ-жидкость. Лит. -  
6 назв., ил. - 2.

В.Г.Дубровский (НГО АН СССР)

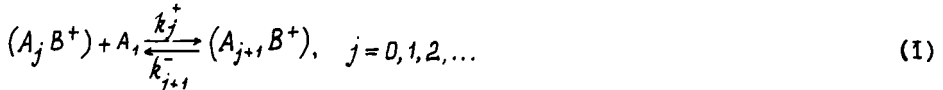
## РАВНОВЕСНЫЕ РАСПРЕДЕЛЕНИЯ ИОННЫХ КЛАСТЕРОВ ПО РАЗМЕРАМ В КВАЗИХИМИЧЕСКОЙ МОДЕЛИ

Экспериментальные масс-спектрометрические исследования распределений ионных кластеров по размерам стимулируют развитие кинетической теории кластерообразования. Одной из важнейших и до конца не решенных задач в этой области является изучение дискретной квазихимической модели (КМ) с реальными зависимостями констант скоростей реакций от размера [1]. Первый шаг при аналитических исследованиях КМ состоит в нахождении ее равновесных решений, играющих существенную роль в теории. В работе [2] предложен новый метод построения равновесных решений КМ гомогенной конденсации.

### Основные положения КМ

В рамках КМ процесс образования ионных кластеров рассматривается в следующей постановке. Изучаемая дисперсная среда представляет собой пространственно однородную смесь идеальных газов пары  $A_1$ , ионов  $B^+$ , пассивного газа и кластеров различного размера ( $A_j B^+$ ), помещенную в конечный объем  $V$ . Полное число молекул пара и ионов в системе равны, соответственно,  $N_A^{tot} \equiv N$  и  $N_B^{tot}$ . Если концентрация пассивного газа значительно превосходит концентрацию пара, иерархия времен энергетической и химической релаксации приводит к равенству температур кластеров температуре среды, то есть обеспечивает изотермичность процесса.

Считается, что в системе протекают реакции соединения между кластерами и молекулами пара и мономолекулярного распада кластера на молекулу пара и кластер меньшего размера



Прямая реакция (1) трактуется как процесс конденсации, обратная – как процесс испарения. Константы скоростей  $k_j^\pm$  предполагаются зависящими от номера  $j$  и не зависящими от концентраций  $n_j = [(A_j B^+)]$ . Не учитываются процессы взаимодействия между кластерами, а также непарные столкновения и реакции фрагментации кластеров на несколько осколков.

При сделанных допущениях состояние системы в момент времени  $t$  в отсутствие химического равновесия полностью определяется средними концентрациями свободных молекул пара  $n_A(t)$ , кластеров различного размера  $n_j(t)$  (при  $j=0$   $n_0(t)$  есть концентрация свободных ионов  $n_B(t)$ ), объемом  $V$  и температурой  $T$ . Система кинетических уравнений КМ для реакций (1) имеет вид

$$\left\{ \begin{array}{l} dn_A/dt = - \sum_{j=1}^N I_j; \\ dn_j/dt = I_j(1-\delta_{j,0}) - I_{j+1}(1-\delta_{j,N}), \quad j = 0, 1, \dots, N; \\ I_j = n_A n_{j-1} k_{j-1}^+ - n_j k_j^-. \end{array} \right. \quad (2)$$

Величина  $I_j$  по физическому смыслу есть поток кластеров с уровня  $j-1$  на уровень  $j$ . Символ Кронекера  $\delta_{j,0}$  запрещает распад иона  $B^+$ , а  $\delta_{j,N}$  – появление в системе кластера с размером, большим общего числа молекул пара  $N$ . Система (2) имеет два первых интеграла, выраждающих законы сохранения полного числа молекул  $A$ , в единице объема  $n_A^{tot} = N/V$  и полного числа ионов в единице объема  $n_B^{tot} = N_B^{tot}/V$ :

$$\sum_{j=0}^N n_j(t) = n_B^{tot}; \quad n_A(t) + \sum_{j=1}^N j n_j(t) = n_A^{tot}. \quad (3)$$

Система (2) представляет собой систему зацепляющихся нелинейных дифференциальных уравнений огромной размерности. Дело усложняется еще и тем, что зависимость констант скоростей  $k_j^\pm$  от  $j$  для любых  $j$  обычно неизвестна. Поэтому при изучении кинетики роста больших кластеров (капель) часто переходят к диффузионному приближению КМ, заменяя дискретную систему (2) одним уравнением в частных производных типа Фоккера-Планка [3]. Оно имеет вид уравнения диффузии в потенциальном поле, обусловленном работой образования кластера. Зависимость  $k_j^+$  от  $j$  при  $j \gg 1$  аппроксимируется простым геометрическим фактором  $k_j^+ \sim S_j$ , где  $S_j$  – площадь поверхности кластера, предполагаемого сферическим, а константа скорости распада  $k_j^-$  восстанавливается из  $k_j^+$  по принципу детального баланса. Отметим, что переход к диффузионному приближению существенно "обедняет" исходную дискретную систему КМ. Во-первых, из рассмотрения исключаются малые кластеры, наиболее интересные с точки зрения масс-спектрометрических экспериментов. Во-вторых, уравнения (2), в отличие от диффузионного уравнения, в принципе позволяют описать процесс релаксации к равновесному распределению от начала до конца, оставаясь справедливыми на сколь угодно больших временах.

Уравнения КМ (2) записаны для системы с конечными  $N$ ,  $V$ , то есть еще до совершения термодинамического предельного перехода  $N \rightarrow \infty$ ,  $V \rightarrow \infty$ ,  $N/V = const$ .

В соответствии с этим в системе (2) учтена принципиальная возможность появления кластера  $(A_N B^+)$ , содержащего все  $N$  молекул пара системы.

## Термодинамическая квазиравновесная функция распределения

Известный термодинамический способ нахождения квазиравновесных распределений гетерогенных кластеров по размерам [4] дает результат

$$n_j^{(q)} \sim \exp\left(-\frac{\Delta F_j}{k_B T}\right); \Delta F_j = -\ln s_j + \sigma S_j + \frac{q^2}{2} (\epsilon_v^{-1} - \epsilon_l^{-1}) r_j^{-1}, \quad j \gg 1, \quad (4)$$

где  $\Delta F_j$  есть минимальная работа, идущая на образование комплекса  $(A_j B^+)$ ;  $\sigma$  – коэффициент поверхностного натяжения;  $q$  – заряд иона,  $S_j = 4\pi r_j^2$ ;  $r_j$  – радиус сферического кластера;  $\epsilon_v, \epsilon_l$  – диэлектрические проницаемости пара и жидкости,  $s(t) = n_A(t)/n_{A,s}$  – зависящее от времени пересыщение пара. Первое слагаемое в выражении для  $\Delta F_j$  представляет собой работу, необходимую для испарения  $j$  молекул  $A$ , с бесконечной поверхности жидкости, второе – поверхностную энергию кластера, третье возникает за счет электростатического взаимодействия иона с молекулами кластера. Качественный вид квазиравновесной функции приведен на рис.1. Функция

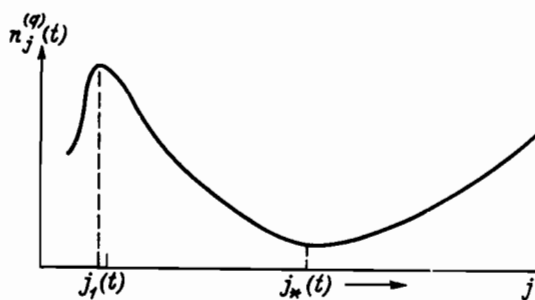


Рис.1. Качественный вид квазиравновесной функции распределения в момент времени  $t < \infty$ . Критический размер  $j_*(t)$  растет с увеличением  $t$

$n_j^{(q)}$  может иметь максимум в области небольших  $j$ , положение которых зависит от значений физических параметров в выражении (4). Если  $j_1(t) \sim 1$ , то есть лежит в области, где деление  $\Delta F_j$  на объемную, поверхностную и электростатическую части перестает быть справедливым, значение  $j_1(t)$  используется как оценка. Размер  $j_*(t)$ , в котором  $n_j^{(q)}$  имеет минимум, называется критическим. При невысоких пересыщениях ( $s \leq 5$ ) размер  $j_* \gg j$ , может находиться из формулы Томсона для гомогенной теории:

$$j_*(t) = \frac{32}{3} \pi v_l^2 \left( \frac{\sigma}{k_B T \ln s(t)} \right)^3, \quad (5)$$

где  $v_l$  – объем, занимаемый одной молекулой в жидкости. По достижении критического размера  $n_j^{(q)}$  неограниченно возрастает с ростом  $j$  при  $t < \infty$  и не удовлетворяет законам сохранения (3). Поэтому квазиравновесная функция может иметь физический смысл лишь в докритической области, представляя собой гибсовское распределение вдали от активационного барьера нуклеации, подстраивающееся под мгновенные значения  $s(t)$  и  $n_B(t)$  [3]. С другой стороны, в финальном равновесном состоянии системы при  $t \rightarrow \infty$   $s(t) \rightarrow 1$  и, согласно (5),  $j_*(t) \rightarrow \infty$ . Таким образом, обычная в теории конденсации трактовка жидкости как кластеров закритического размера сталкивается с трудностями.

## Общий метод построения равновесных решений КМ

В равновесном состоянии поток  $I_j = 0$  для всех  $j = 1, 2, \dots, N$ . Из последнего уравнения системы (2) имеем следующие выражения для равновесных концентраций:

$$n_j^e = n_B^e d_j [n_A^e]^j; \quad d_j = \prod_{i=0}^{j-1} K_i, \quad (d_0 = 1), \quad (6)$$

где  $K_i = k_{i+1}^+ (\tau) / k_i^- (\tau)$  – термодинамическая константа равновесия реакции (1). В формулы (6) входят две неизвестные величины: равновесная концентрация ионов  $n_B^e$  и пара  $n_A^e$ , для которых из выражений (3) получаем уравнения:

$$n_B^e = \frac{n_B^{tot}}{1 + F_N(n_A^e)}; \quad n_A^e \left[ 1 + n_B^{tot} \frac{F'_N(n_A^e)}{1 + F_N(n_A^e)} \right] = n_A^{tot}, \quad (7)$$

$$F_N(x) \equiv \sum_{j=1}^N d_j x^j; \quad F'_N(x) \equiv \frac{dF_N(x)}{dx}.$$

Таким образом, вид финального равновесного распределения полностью определяется константами равновесия  $K_j (\tau)$ , фигурирующими в выражении (6) для  $d_j$ . Следуя [2], для их нахождения поступим следующим образом. При равновесном протекании реакций справедливо соотношение

$$\mu_j = \mu_{j-1} + \mu_A, \quad j = 1, \dots, N \quad \text{или} \quad \mu_j = \mu_B + j\mu_A,$$

где  $\mu_{j,A,B}$  – химические потенциалы кластера ( $A_j B^+$ ), молекулы пара  $A$ , и иона  $B^+$  соответственно. Используя известную формулу [5]

$$\mu_{j,A,B} = K_B T \ln \left( \frac{n_{j,A,B}^e \lambda_{j,A,B}^3}{Z_{j,A,B}} \right), \quad (8)$$

где  $\lambda_{j,A,B} = \frac{\hbar}{(2\pi m_{j,A,B} K_B T)^{1/2}}$ ,  $\hbar$  – постоянная Планка;  $m_{j,A,B}$  – массы кластера, молекулы пары и иона ( $m_j = j m_A + m_B$ );  $Z_{j,A,B}$  – статистические суммы внутренних степеней свободы ( $A_j B^+$ ),  $A$ , и  $B^+$ , и сравнивая формулу (8) с выражением (6) для  $n_j^e$ , получаем:

$$d_j = \lambda_A^{3j} (1 + m_j)^{1/2} \frac{Z_j}{Z_A^j Z_B}; \quad m \equiv m_A/m_B. \quad (9)$$

Формула (9) сводит задачу о нахождении равновесных распределений к вычислению статистических сумм  $Z_{j,A,B}$ , определяемых внутрикластерными потенциалами взаимодействий и являющихся функциями температуры и параметров потенциалов. В качестве примера использования выражения (9) для определения констант равновесия найдем  $K_B (\tau)$  для кластера ( $B^+ A$ ), состоящего из двух бесструктурных частиц  $B^+$  и  $A$ , с энергией взаимодействия

$$\mathcal{E}_{vk} = \mathcal{E}_0 + \hbar \omega (\nu + 1/2) + \frac{\hbar}{2I} k(k+1),$$

где  $\mathcal{E}_0$  – электрическая энергия взаимодействия, отсчитываемая от суммы электрических энергий разведенных частиц  $B$  и  $A$ ;  $\nu$ ,  $k$  – колебательное и вращательное квантовые числа;  $I = (m_A + m_B)^{-1} m_A m_B r_0^2$  – момент инерции кластера,  $r_0$  – среднее расстояние между частицами.

Тогда  $Z_v = \exp \left( -\frac{\mathcal{E}_0}{K_B T} \right) Z_{BP} Z_{KA}$ , при  $K_B T \gg \frac{\hbar^2}{2I} Z_{BP} \approx \frac{2I}{\hbar^2} K_B T$  и, согласно (9),

$$\kappa_0(T) \equiv \frac{k_0^+}{k_1^-} = (1+m)^{3/2} \lambda_A^3 \frac{2T}{\hbar^2} K_B T Z_{\text{кол}} \exp\left(-\frac{\epsilon_0}{K_B T}\right),$$

$$Z_{\text{кол}} = \frac{\exp\left(-\frac{\hbar\omega}{2K_B T}\right)}{1 - \exp\left(-\frac{\hbar\omega}{K_B T}\right)}.$$

Полученное представление для  $n_j^e$  (6), (9) можно записать в эквивалентной форме, используя формулу связи статсуммы и свободной энергии в каноническом ансамбле

$$Z_{j,A,B} = \exp\left(-\frac{G_{j,A,B}}{K_B T}\right),$$

где  $G_{j,A,B}$  – свободная энергия ( $A_j B^+$ ),  $A$ , и  $B^+$ . При этом из формул (6), (9) для равновесной функции имеем точное выражение, справедливоое при всех  $j$ :

$$n_j^e = \lambda_A^{3j} (1+mj)^{3/2} n_B^e [n_A^e]^j \exp\left(-\frac{\Delta G_j}{K_B T}\right). \quad (10)$$

Величина  $\Delta G_j = G_j - jG_A - G_B$  есть свободная энергия, потраченная на образование кластера ( $A_j B^+$ ) из  $j$  молекул пара и иона  $B^+$  в равновесных условиях.

### Равновесная функция распределения для простой аппроксимации $\Delta G_j$ .

Как уже отмечалось, вычисление  $\Delta G_j$  при произвольных  $j$  требует знания внутрикластерных потенциалов взаимодействия. Однако, при  $j \gg 1$  возможно разделение величины  $\Delta G_j$  на три части, соответствующие объемной, поверхностной и электростатической энергии кластера. Считая форму больших кластеров сферической, представим  $\Delta G_j$  в виде

$$\Delta G_j = (G - \epsilon_v^o)j + (\alpha - \epsilon_s^o)S_j + \frac{q^2}{2} (\epsilon_v^{-1} - \epsilon_e^{-1}) r_j^{-1}, \quad (11)$$

где  $G$ ,  $\epsilon_v^o$  – по физическому смыслу есть плотность свободной энергии и энергии связи на одну молекулу;  $\alpha$ ,  $\epsilon_s^o$  – поверхностная плотность свободной энергии и связи (аналог поверхностного натяжения в выражении (4)). Последний член в правой части уравнения (11) имеет тот же смысл, что и в (4). Подставляя (11) в (10) и выражая площадь поверхности кластера  $S_j$  и радиус  $r_j$  через  $j$ , получим представление для  $n_j^e$  при  $j \gg 1$ :

$$n_j^e = (1+mj)^{3/2} n_B^e \exp((aj - b_j^{2/3} - c_j^{-1/3}), \quad (12)$$

$$a = \ln n_A^e + 3 \ln \lambda_A + \frac{\epsilon_v^o - G}{K_B T}; \quad (13)$$

$$b = \frac{4\pi q^2(\alpha - \epsilon_s^o)}{K_B T}; \quad c = \frac{q^2}{2K_B T} (\epsilon_v^{-1} - \epsilon_e^{-1}) \eta^{-1}; \quad \eta = \left(\frac{3m_A}{4\epsilon \rho_c}\right)^{1/3}$$

где  $\rho_c$  – плотность жидкости в кластере.

Из формулы (12) видно, что при  $a > 0$   $n_j^e \rightarrow \infty$  при  $j \rightarrow \infty$ , тогда как при  $a < 0$   $n_j^e \rightarrow 0$  при  $j \rightarrow \infty$ . Следуя Френкелю [6], первый случай будем считать соответствующим пересыщенному пару, а второй – ненасыщенному пару. Тогда состояние с  $a = 0$  есть состояние насыщения. Из (13) находим выражение для плотности насыщенного пара:

$$n_{A,S}^e = \lambda_A^{-3} \exp\left(-\frac{\epsilon_V^0 - \epsilon}{k_B T}\right), \quad (14)$$

которое с точностью до предэкспоненты совпадает с известным из термодинамики уравнением Клапейрона-Клаузиуса. Величина  $a$ , согласно (13), (14), есть логарифм равновесного пересыщения, то есть  $a = \ln(n_A^e/n_{A,S}^e)$ . Подчеркнем, что, в отличие от  $n_A^e$ , являющейся функцией температуры  $T$  и полного числа молекул  $N$ ,  $n_{A,S}^e$  зависит только от температуры.

Законы сохранения (7), необходимые для определения величин  $a$  и  $n_B^e$  в выражении (12), для рассматриваемой аппроксимации  $\Delta G_j$  имеют вид

$$n_B^e = \frac{n_B^{tot}}{1 + F_N(a)}; n_{A,S}^e + n_B^{tot} \frac{F'_N(a)}{1 + F_N(a)} = n_A^{tot}, \quad (15)$$

$$F_N(a) = \sum_{j=1}^N (1+m_j)^{3/2} \exp[\varphi_j(a)]; \varphi_j(a) = a_j - b_j^{2/3} - c_j^{-1/3}, j \geq 1. \quad (16)$$

В формуле (16) формально распространяется представление (11), справедливое только для  $j \gg 1$ , на все  $j$  вплоть до  $j=1$ . Вопрос об уточнении (11) для малых  $j$  требует отдельного исследования. Рассмотрим поведение  $\varphi_j(a)$  как функции  $j$  в случае пересыщенного пара ( $a > 0$ ). Поскольку  $a(N) \ll 1$  при больших  $N$ , в области малых размеров  $\varphi_j \approx -b_j^{2/3} - c_j^{-1/3}$  и не зависит от  $a$ . Функция  $\varphi_j$  при  $j \geq 1$  максимальна в точке  $j=1$ , если  $\frac{c}{2b} < 1$ , и в точке  $j=\frac{c}{2b}$ , если  $\frac{c}{2b} > 1$ . В области больших  $j$  функция  $\varphi_j(a)$  принимает максимальное значение при  $j=N$ . Имея в виду лишь получение качественных зависимостей параметров равновесного распределения  $a$  и  $n_B^e$  от  $N$ , перейдем в выражениях (16) от суммирования к интегрированию и заменим  $F_N(a)$  и  $F'_N(a)$  вкладами от двух точек максимума функции  $\varphi_j(a)$ . Вычисление этих вкладов по методу Лапласа дает следующий результат

$$F_N(a) \approx A(\max(1, j_1)) + A_N(a); F'_N(a) \approx \max(1, j_1) A(\max(1, j_1)) + N A_N(a). \quad (17)$$

$$A(1) \sim \frac{3(1+m)^{3/2}}{2b-c} \exp(-b-c); A(j_1) \sim \frac{(1+m_j)^{3/2}}{2} \left(\frac{3\pi}{6}\right)^{1/2} j_1^{2/3} \exp(-3bj_1^{2/3}),$$

$$A_N(a) \sim \frac{(mN)^{3/2}}{a - \frac{2b}{3} N^{-1/3}} \exp(aN - bN^{2/3}).$$

Через  $j_1$ , здесь обозначен размер  $\frac{c}{2b}$ . Используя формулы (17) в выражениях (15), получаем искомые зависимости (с точностью до членов, пропорциональных  $N^{-1}$ ):

$$a(N) \approx bN^{-1/3} + N^{-1} \ln \left[ \frac{A_N}{(mN)^{3/2}} \right]; n_B^e(N) \approx \frac{n_B^{tot}}{1 + A(\max(1, j_1)) + A_N}, \quad (18)$$

$$A_N = N^{-1} \left[ \Gamma(1 + A(\max(1, j_1))) - \max(1, j_1) A(\max(1, j_1)) \right], \Gamma \equiv \frac{n_A^{tot} - n_{A,S}^e}{n_B^{tot}}.$$

Видно, что равновесное пересыщение  $a(N) = \ln \left( \frac{n_B^e(N)}{n_{A,S}^e} \right) \rightarrow 0$  при  $N \rightarrow \infty$ . Поскольку величины  $A(1)$  и  $A(j_1)$  малы за счет экспоненциальных факторов, лишь незначительная часть ионов в равновесном состоянии оказывается входящей в состав кластеров, то есть  $n_B^e \approx n_B^{tot}$ .

Интерпретация полученных результатов  
в терминах фазового перехода газ -  
жидкость

Распределение (12) с  $a$  и  $n_A^e$  в формуле (18) достигает минимума в точке

$$j_* = \frac{6N}{27} \left[ 1 - 3N^{-2/3} \ln \left( \frac{A_N}{(mN)^{3/2}} \right) \right] \simeq \frac{8}{27} N.$$

Выясним связь характерных размеров равновесного распределения  $\max(1, j_1)$  и  $j_*$  с зависящими от времени величинами  $j_1(t)$  и  $j_*(t)$  (см. рис. I). Представив в формуле (5) логарифмы пересыщения в виде  $\ln s(t) = \ln \left( \frac{n_A(t)}{n_A^e} \right) + a(N)$  и используя выражение (13) для коэффициента  $b$ , получаем  $j_*(t) \rightarrow j_*$  при  $t \rightarrow \infty$ . Таким образом, размер  $j_*$  есть критический размер классической теории конденсации в финальном равновесном состоянии системы с конечными  $V$  и  $N$ . Аналогично, размер  $\max(1, j_1)$  есть равновесное значение  $j_1(t)$ , то есть  $j_1(t) \rightarrow \max(1, j_1)$  при  $t \rightarrow \infty$ , что следует из уравнения на  $j_1(t)$ :

$$3 \left[ a(N) + \ln \left( \frac{n_A(t)}{n_A^e} \right) \right] = 2b j^{-1/3} \left( 1 - \frac{\max(1, j_1)}{j} \right), \quad j \geq 1.$$

При замене  $b \leftrightarrow (\alpha - \xi_S^0)$  связь между минимальной работой в выражении (4) и показателем экспоненты в (12) имеет вид:

$$-\frac{\Delta F_i}{k_B T} = \ln \left( \frac{n_A(t)}{n_A^e} \right) j + \alpha j - b j^{2/3} - c j^{-1/3}.$$

Очевидно, что при  $t \rightarrow \infty$  ( $n_A(t) \rightarrow n_A^e$ ) и после совершения термодинамического предельного перехода ( $\alpha \rightarrow 0$ ) квазиравновесная функция распределения (4) и равновесное решение КМ (12), (18) совпадают с точностью до предэкспоненты.

Все полученные результаты в термодинамическом пределе остаются в силе, а характеристики равновесного распределения перестают зависеть от  $N$ . Построенное решение удовлетворяет законам сохранения и в пределе бесконечного числа частиц. Согласно (12), (18) в этом случае

$$n_j^e = (1 + m_j)^{3/2} n_B^e \exp(-b_j^{2/3} - c_j^{-1/3}), \quad n_B^e \simeq \frac{n_B^{tot}}{1 + A(\max(1, j_1))}.$$

Зависимости  $n_j^e$  от  $j$  для различных  $N$  приведены на рис. 2, из которого ясно, что

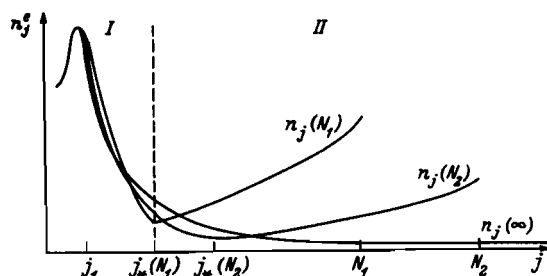


Рис. 2. Равновесная функция распределения в пересыщенном паре в случае  $j_1 > 1$ . Область I соответствует газообразному состоянию, область II - жидкости.

Следовательно, гетерогенная система расслаивается на фазы, а распределение (12), (18)

описывает это расслоение. Плотности образовавшихся фаз приближенно равны площадям областей I и II. Например, оценив площадь области II, найдем выражение для числа частиц жидкости в единице объема системы ("плотность" жидкой фазы)

$$n_e^e \approx \frac{19}{27} (n_1^{tot} - n_{A,S}^e).$$

Таким образом, статистические равновесные функции распределения оказываются свободными от расходимостей в термодинамическом пределе и позволяют описывать процесс равновесного кластерообразования в рамках КМ.

## ЛИТЕРАТУРА

1. Binder K./Theory for the dynamics of "clusters". II Critical diffusions in binary systems and the kinetics of phase separation//Phys. Rev. - 1977. - V.815, N 9. - P. 4425-4447.
2. Богданов А.В. и др. Равновесные решения квазихимической модели конденсации. Препринт № II63. - Л.: ФТИ, 1987. - 40 с.
3. Куни Ф.М. Проблемы кинетики конденсации. Препринт № 83-79Р. - Киев: ИТФ, 1983. - 26 с.
4. Kotake S., Glass I.I. Froms with nucleation and condensation//Prog. aerospace sci. - 1981. - V.19, N 2-4. - P. 129-196.
5. Румер Ю.Б., Рывкин М.Ш. Термодинамика, статистическая физика и кинетика. - М.: Наука, 1977. - 552 с.
6. Френкель Я.И. Кинетическая теория жидкостей. - М.: Наука, 1975. - 592 с.

А.И.Григорьев, Е.И.Мухина (Ярославский ГУ)

## УСТОЙЧИВОСТЬ ДИЭЛЕКТРИЧЕСКОЙ КАПЛИ В ЭЛЕКТРОСТАТИЧЕСКОМ ПОЛЕ

Расчет равновесной формы, а также критических условий развития неустойчивости Тонкса-Френкеля, диэлектрической капли (в жидком мениске на срезе капилляра, по которому подается жидкость) в постоянном однородном внешнем электрическом поле  $E_0$ , представляет интерес в связи с разработкой новых методов введения жидких веществ в масс-спектрометры, электростатическим распылением топлив и лакокрасочных материалов и изучением процессов разделения зарядов в грозовых облаках [1-3]. Основанием для такого интереса является тот факт, что при достаточно большой величине  $E_0$  в капле развивается неустойчивость Тонкса-Френкеля, при которой на вершине капли, ориентированной по полю, появляется заостренный выступ, с вершины которого начинается эмиссия высокодисперсных сильно заряженных капелек [4-5]. Именно этот эффект и используется в перечисленных приложениях, а знание равновесной формы капли необходимо для понимания механизма эмиссии капель и расчета их характеристик.

В работе [2] предпринята, по-видимому, первая попытка расчета критических условий неустойчивости диэлектрической капли в поле  $E_0$ . Но ее авторы не учли того обстоятельства, что равновесная в  $E_0$  форма капли отлична от сферической, на